

# Экранирующие свойства чистой воды и ее разбавленных растворов

В. Шикин<sup>1)</sup>

Институт физики твердого тела РАН, 142432 Черноголовка, Россия

Поступила в редакцию 6 апреля 2023 г.

После переработки 31 июля 2023 г.

Принята к публикации 1 августа 2023 г.

Предлагается описание экранирующих свойств воды и ее разбавленных растворов в рамках статистики, трактующей поведение слабо проводящей жидкости в рамках теории обратимых химических реакций с общим названием “Ионные равновесия”. Ее модификация дает возможность качественно правильно объяснять наблюдаемые детали в поведении экранирующих свойств разбавленных водных растворов, включая предельный случай чистой воды.

DOI: 10.31857/S123456782317007X, EDN: jzwcrpe

Чистая вода (*aqua*) – типичный амфотерный электролит с известной равновесной характеристикой  $K_{aq}(T)$ , называемой “ионное произведение воды” (амфотерность электролита в электрохимии означает принадлежность растворителя к разряду собственных в статистике полупроводников). Согласно данным известной монографии [1]

$$\log_{10} K_{aq} = \frac{A_1}{T} + A_2 + A_3 * T, \quad (1)$$

$$A_1 = 4471.33 \text{ K}, \quad A_2 = -6.0846, \quad A_3 = +0.017053.$$

Определение  $\log_{10} K_{aq}$  (1) входит эталонной частью в  $pH$  – классификацию водных растворов слабых кислот и щелочей. Аккуратность в определении констант  $A_i$  из (1) свидетельствует об уверенности авторов [1] в согласованности разных методик, используемых для их оценки.

Экспериментально показано (см., к примеру, [2, 3]), что вода, заполняющая объем плоского конденсатора с блокирующими электродами способна полностью экранировать внешнее электрическое поле в широком интервале управляющей разности потенциалов  $0 < V \leq V_{crit}$  на электродах конденсатора. Здесь  $V_{crit}$  – критический порог, отвечающий появлению пробойных явлений на границе металл–электролит. Примеры поведения полного заряда  $Q(t)$  аккумуляционного слоя, возникающего на одной из таких поверхностей, собраны на рис. 1 (см. [2, 3]). Цикл измерений состоит из двух частей. В момент времени  $t = 0$  на управляющие электроды “1”, “2” плоского конденсатора, заполненного электролитом (водой), подается фиксированная разность

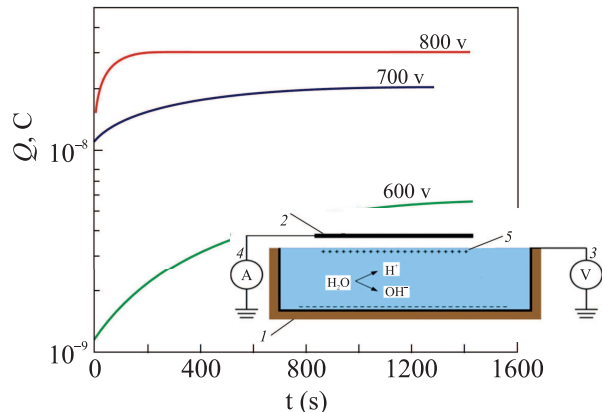


Рис. 1. (Цветной онлайн) Поведение  $Q(t)$  в плоской ячейке с водой. Управляющий электрод “2” разделен с электролитом в ванне тонкой диэлектрической прослойкой (ячейка с “запертными электродами”). Разность потенциалов на электродах “1”, “2” пробегает значения: 600, 700, 800 В. На вставке: 1 – металлическая кювета с водой; 2 – верхний металлический электрод, образующий вместе с металлом “1” плоский конденсатор; 3 – вольтметр, фиксирующий наличие разности потенциалов  $V$  между пластинами конденсатора; 4 – прибор (кулонометр), фиксирующий через данные относительно  $Q(t)$  электростатические изменения аккумуляционного происхождения в объеме конденсатора; 5 – схематическое положение аккумуляционного слоя вдоль границы металл–электролит

потенциалов  $V$  (прибор “3”). Появление возмущения в объеме конденсатора ведет к разделению зарядов в электролите с образованием аккумуляционного слоя на границе металл “2 – электролит (электрод “1” находится в омическом контакте с ванной). Электростатическая перестройка в объеме конденсатора сопровождается притоком зарядов  $Q(t)$  извне, про-

<sup>1)</sup>e-mail: shikin@issp.ac.ru

порциональным степенем экранирования возмущения  $V$  аккумуляционными полями, что и фиксируется прибором  $A$  за номером “4”. Выход кривых  $Q(t)$  на плато, независящие от времени, отвечает полной экранировке внешнего поля собственными зарядами электролита.

В критических условиях  $|V| \geq V_{\text{crit}}$  этот заряд перестает стремиться к насыщению, начиная квазилинейно расти со временем (пробойные явления, см. [3]). Сами значения  $V_{\text{crit}}$  определяются равновесными характеристиками электролита, включая статические значения его диэлектрической постоянной. Для условий рис. 1  $V_{\text{crit}} \leq 900$  В.

Описание экранирующих свойств воды как собственного электролита предлагается в данной заметке. При этом информации (1) недостаточно для количественных заключений о масштабах явления. Нужна мотивированная статистика, определяющая поведение *aqua*-ионов во внешнем электрическом поле.

**А.** Для начала естественно обсудить имеющиеся расчеты экранирующих свойств симметричного (1 : 1) электролита, близкайшего по кулоновским свойствам чистой воде. В рамках формализма имени Льюиса, Рэндла, Дебая, Хюккеля [4, 5] (детали см. к примеру, в руководствах [1, 6–10]) речь идет о совместном решении уравнения Пуассона с определением электрохимического потенциала  $\mu_{\pm}$  в форме

$$\mu_{\pm} = e_{\pm}\varphi + T \ln A_{\pm}, \quad (2)$$

где  $A_{\pm}$  – так называемые активности объемных плотностей  $N_{\pm}^d$ -ионов, возникающих от распадов ( $AB \leftrightarrow A_+ + B_-$ ) легирующей примеси заданной плотности  $N_d$ . Теория Дебая, Хюккеля [5] дает возможность найти явный вид функций  $A_{\pm}$ , если речь идет об электролите в классических условиях  $\langle V_c \rangle \leq T$ , и распады доноров  $AB$  реализуются на 100 %. Здесь  $\langle V_c \rangle$  – средняя кулоновская энергия взаимодействия между ионами, либо во внешнем поле,  $T$  – температура.

С учетом (2) для ячейки рис. 1, оформленной в виде плоского конденсатора, заполненного (1 : 1) электролитом, речь идет о системе определений

$$\Delta\varphi = -\frac{4\pi e^2}{\epsilon} \sum z_a N_a, \quad \varphi(z=0) = V, \quad \varphi(z \gg \lambda_D) \rightarrow 0, \quad (3)$$

$$N_a(z) = N_{ao} \exp(-z_a e \varphi). \quad (4)$$

Здесь  $\epsilon$  – диэлектрическая постоянная растворителя (воды),  $z_a$  – величина и знак заряда данного типа,  $N_{ao}$  – объемная плотность компонент (1 : 1) электролита, отвечающая их значениям вдали от управляемых электродов, там где потенциал  $\varphi(z) \rightarrow 0$ .

Определение дебаевской длины  $\lambda_D$ , использованное в этом условии, содержится в формулах (5).

Как следствие в линейном по  $e\varphi/T \leq 1$  приближении

$$\Delta\varphi = \kappa_D^2 \varphi, \quad \kappa_D^2 = \frac{4\pi e^2}{\epsilon T} \sum_a N_{ao} z_a^2, \quad e \sum_a z_a N_{ao} = 0, \quad (5)$$

где  $\kappa_D$  – обратная дебаевская длина  $\lambda_D$ . В определениях (5) использованы соотношения (3), (4), неравенство  $e\varphi/T \leq 1$  и требование общей нейтральности газа  $e \sum_a z_a N_{ao} = 0$ .

Согласно (5), в формировании длины  $\lambda_D$  участвуют не только константы  $N_{ao}$ , но и требования (2), (4) (управление свойствами фракций  $N_a(z)$  в рамках статистики Больцмана). Плотности протонов  $H_+$  и гидроксила  $OH_-$ , возникающие в растворе за счет обратимой реакции  $H_2O \leftrightarrow (H_+ + OH_-)$ , такой статистике не подчиняются. В самом деле, закон (1) в терминах  $N_+$  и  $N_-$  дает представление о свойствах произведения фракций протонов  $H_+$  и гидроксила  $OH_-$ :  $K_{aq}(T) \propto (N_+ \times N_-)$ . Другими словами, в любом водном растворе их произведение есть величина постоянная, независимо от степени легирования раствора “слабыми” примесями (слабыми кислотами, либо щелочами) объемной плотности  $N_d$ . В то же время, каждая из составляющих заряженного раствора испытывает влияние  $N_d$  легирования (см. ниже формулы (6), (7)):  $N_+ \rightarrow N_+(T, N_d)$  и  $N_- \rightarrow N_-(T, N_d)$ . Как следствие, химическая часть  $\zeta_{\pm}$  электрохимического потенциала протонов  $H_+$  и гидроксила  $OH_-$  не есть простая функция  $\zeta_{\pm} \propto \ln N_{\pm}$ , как это полагается в (2), (4). Кроме того, общим правилом для легирующей фракции раствора является сохранение полного количества  $N$  примесных частиц

$$N = \int N_d(\mathbf{r}) d^3\mathbf{r} = \text{const.}$$

Составляющие  $H_+$  и гидроксила  $OH_-$  такими свойствами не обладают.

Резюмируя, механизм (2)–(5) имеет лишь качественное отношение к интересующему нас определению длин экранирования  $\lambda_0^{\pm}$  в чистой воде. Участие собственных ионов в экранировке внешних полей согласованно трактуется формулами теории обратимых химических реакций с общим названием “Ионные равновесия”. Эта статистика, фигурирующая во многих руководствах по тематике, начиная с Гиббса, наиболее полно представлена в книге Батлера [9]. Ее модификация, намеченная в [3, 11] и позволяющая ввести в обиход понятие энергии Ферми в запрещенной зоне воды, использует глубокую аналогию про-

исходящего в разбавленных электролитах со статистикой легированных полупроводников [12].

**В.** В слабо проводящих средах выполняется ряд универсальных термодинамических соотношений, имеющих место в разбавленных заряженных растворах и кристаллических полупроводниках единовременно. Существование эмпирической базы для сопряжения оказывается достаточным в построении феноменологической статистики разбавленных заряженных растворов (энергостатистики). Речь идет о так называемых константах диссоциации в теории обратимых химических реакций для растворов разного состава [1, 6, 7, 9, 14, 15]. В частности, нас интересует ионное произведение воды с константой диссоциации  $K_{aq}(T)$  (1) и закон Освальда с константой диссоциации  $K_d(T)$ . Обе константы:  $K_{aq}(T)$  и  $K_d(T)$  – доступны измерениям с хорошей точностью (см. [1, 6, 7, 9]) и в обсуждаемой феноменологии считаются известными. На этой почве можно предложить систему определений в описании свойств разбавленных электролитов, коррелирующих с основными формулами электрон-дырочной статистики для кристаллических полупроводников. Использование отмеченного взаимосоответствия с участием констант  $K_{aq}(T)$  и  $K_d(T)$  и составляет основу процедуры сопряжения (детали см. [3, 11] и Приложение).

Согласно [3, 11], разбавленный раствор уксусной кислоты (пример, удобный для иллюстраций общих закономерностей) обладает свойствами слабо легированного полупроводника *n*-типа. Схема энергетических уровней представлена на рис. 2. Все энергии отсчитываются от потолка валентной зоны. Протоны  $H_+$  условно заполняют нижнюю часть зоны проводимости, гидроксилиды именуемые антипротонами  $OH_-$ , заполняют верхнюю часть валентной зоны. Уксусная кислота, легирующая воду избыточными протонами, играет роль донорной добавки. Числа на схеме берутся из экспериментальных данных. Для воды ширина запрещенной зоны  $E_g \simeq 10250$  К. Положение донорного уровня обозначено на рис. 2 через  $E_2$ . “Разность”  $E_d = (E_g - E_2) \simeq 2690$  К. Акцепторы на уровне  $E_1$  в задаче о свойствах разбавленного раствора слабой кислоты отсутствуют.

Поведение уровня Ферми  $E_F$  в запрещенной зоне  $E_g$  собственного электролита (воды) для разбавленного водного раствора следует из решения трансцендентного уравнения (6) относительно  $E_F$ , возникающего из требования локальной нейтральности в объеме слабо легированного электролита

$$N_+ = N_- + N_d^-, \quad (6)$$

$$N_+ \simeq N_+^0 \exp [(E_F - E_g)/T], \quad (7)$$

$$N_- \simeq N_-^0 \exp [(-E_F)/T],$$

$$N_d^- = \frac{N_d}{1 + \exp (E_F - E_2)/T}. \quad (8)$$

Здесь, как и выше,  $N_+$  – объемная плотность протонов  $H_+$ ,  $N_-$  – объемная плотность анти-протонов (гидроксила)  $OH_-$ ,  $N_d$  – объемная плотность легирующей примеси),  $N_+^0$  и  $N_-^0$  – феноменологические константы, требующие определения. В этой процедуре принимают участие упомянутые выше условия сопряжения.

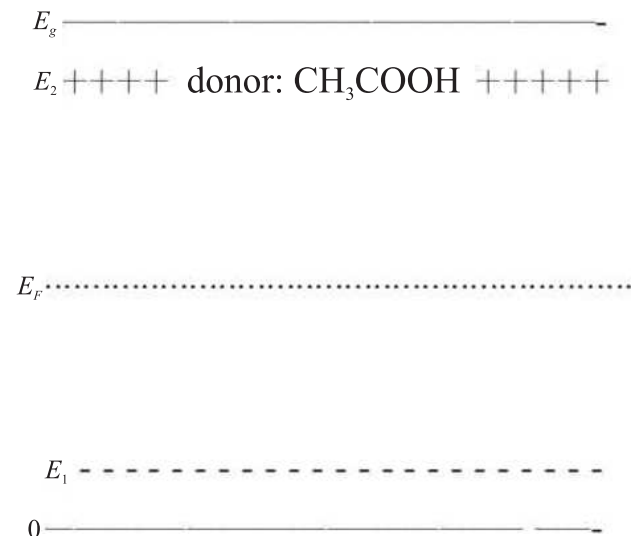


Рис. 2. Энергетический спектр воды.  $E_1$ ,  $E_F$ ,  $E_2$ ,  $E_g$  – уровень акцептора, положение уровня Ферми, уровень донора, ширина запрещенной зоны – соответственно. Все энергии отсчитаны от потолка валентной зоны

Пользуясь намеченным в [3, 11] алгоритмом и данными [1, 6] относительно констант  $K_{aq}(T)$ ,  $K_d(T)$ , находим численные значения плотностей  $N_+^0$  и  $N_-^0$  для пары вода–уксус. Соответствующая программа действий детализирована в Приложении и ведет к результатам, собранным на рис. 3. В статистике [3, 11] так же, как и в [12, 13], эти данные должны быть универсальными, возникающими из обработки информации [1, 6] для любых пар: вода–слабая кислота.

**С.** Располагая формулами (6)–(8), возвращаемся к определению длин экранирования  $\lambda_0^\pm$  для чистой воды. С этой целью надо заменить больцмановское условие стационарности (3) общими требованиями на потоки  $j_\pm^{aq}$ , значения которых в равновесии должны быть нулевыми на всей оси  $OZ$

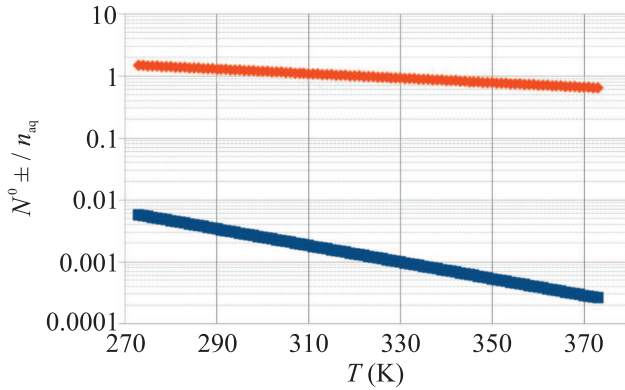


Рис. 3. (Цветной онлайн) Информация относительно численных значений плотностей  $N_+^0(T)$  (красная линия) и  $N_-^0(T)$  (синяя линия), отнесенные к плотности воды  $n_{aq}$  для пары вода–уксус

$$j_\pm^{aq}(z) = 0, \quad \text{или}, \quad e_\pm N_\pm^{aq}(z)\varphi(z) + \frac{\partial E_F}{\partial N_\pm^{aq}} \frac{\partial N_\pm^{aq}}{\partial z} = 0, \quad (9)$$

где производные  $\partial E_F / \partial N_\pm^{aq}$  вычисляются с помощью формул (7). Кроме того, надо иметь в виду, что при заданном внешнем поле потоки  $j_\pm^{aq}$  направлены в разные стороны.

Как следствие, линеаризованное по  $\varphi$  уравнение Пуассона сводится к виду (как и в формулах (5)),

$$\frac{d^2\varphi}{dz^2} \simeq +\varphi/\lambda_{aq}^2, \quad \lambda_{aq}^{-2} = \frac{4\pi e^2}{\epsilon_{aq}T} (N_+ \times N_-)^{1/2},$$

$$N_+ \times N_- = N_+^0 \times N_-^0 \exp(-E_g/T). \quad (10)$$

Здесь учтено, что  $\lambda_0^+ = \lambda_0^- = \lambda_0^{aq}$ ; численные значения  $N_+^0$  и  $N_-^0$  представлены на рис. 3.

Резюмируя, длина  $\lambda_0^\pm$  из (10) не зависит от  $N_d$ . Длина  $\lambda_D$  из (5), напротив, чувствительна к плотности доноров:  $\lambda_D \propto N_d^{-1/2}$ . Эта разница вполне осязаема и заслуживает специального внимания с учетом информации, собранной ниже при обсуждении формул (17)–(23). Здесь же отметим, что в газовых условиях

$$N_d \lambda_{aq}^3 \ll 1, \quad (11)$$

для легированных полупроводящих сред (кристаллических и жидкких) характерно специальное “гранулированное” состояние. Каждый из доноров (акцепторов) в этой ситуации ионизирован практически на 100 % (свойства закона Освальда). Но перемещаясь с локальных уровней схемы рис. 2 в зону проводимости, донорные свободные заряды остаются локализованными в экранирующих шубах каждого из заряженных центров  $N_d$ , не пополняя фракции подвижных ионов [16].

Формально отдельная гранула имеет “дебаевскую” структуру (подробнее см. формулы (19), (20))

$$\varphi_a(r) = e \frac{\exp(-\kappa_{aq}r)}{r}, \quad (12)$$

с величиной  $Z = 1$  и  $\lambda_{aq} \equiv \kappa_{aq}^{-1}$  из (10) взамен  $\kappa_D$  (5), (19).

Другие примеры, иллюстрирующие свойства “гранулированного” состояния легированных полупроводящих сред, собраны ниже.

**D.** Показателен эффект Вагнера, Онсагера, Самараса [17, 18] о наблюдаемом (см. к примеру [14]) влиянии конечной плотности легирующей примеси в электролите на поверхностное натяжение границы жидкость–пар. Основные формулы этой теории суть

$$F_{wos}^\odot(z) \simeq F_\epsilon(z) \exp(-2z/\lambda_{aq}), \quad (13)$$

$$F_\epsilon(z) = -\frac{Q^2(\epsilon_1 - \epsilon_2)}{4\epsilon_1(\epsilon_1 + \epsilon_2)z^2}.$$

Величина  $\epsilon_1$  отвечает среде, в которой находится пробный заряд, знак  $(\epsilon_1 - \epsilon_2) > 0$  отвечает отталкиванию ( $F_\epsilon(z) > 0$ ),  $\lambda_0$  из (10). Сами авторы [17, 18] использовали в показателе экспоненты длину  $\lambda_D$ , нарушая стройность рассуждений при  $N_d \rightarrow 0$ . Согласно (13) каждый из заряженных доноров полностью экранирован в объеме электролита (вдали от границы раздела), утверждение, прекрасно коррелирующее с информацией (12).

Задача о легировании удачно сопрягается со статистикой DLVO-коллоидных растворов [19, 20]. Разница в структурах кластеров сводится к замене боровского радиуса  $a_b$  донора на затравочный радиус  $R_0 \geq a_b$  заряженного ядра DLVO-коллоида. При этом газовое требование (11) преобразуется в неравенство (14)

$$N_\odot(R_0 + \lambda_0)^3 < 1, \quad N_\odot \equiv N_d. \quad (14)$$

Здесь  $N_\odot$  – равновесная плотность DLVO-коллоидов в объеме полизлектролита.

Формула (14) качественно универсальна, допуская варьирование радиуса ядра от атомных размеров кластера, когда затравка  $R_0$  имеет масштаб атомного, до типичных размеров DLVO-коллоидов [19, 20] с размерами  $R_0 \geq \lambda_0$ . Ясно, что, как и в (11), требование (14) может содержать экранирующей составляющей лишь длину  $\lambda_0 \equiv \lambda_0^{aq}$ .

Зададимся вопросом об осмотическом давлении  $\Pi(N_\odot)$  в газовой среде с параметрами (14). Практика работы с DLVO коллоидными средами позволяет трактовать ее свойства в терминах, присущих

слабо неидеальным газам. 3Д уравнение состояния, определяющее зависимость осмотического давления  $\Pi_{\text{bulk}}(\phi)$  в газе коллоидных сфер от безразмерной концентрации  $\phi$ , имеет вид [21–23]

$$\frac{\Pi_{\text{bulk}}(\phi)V_{\odot}}{T\phi} = \frac{1 + \phi_* + \phi_*^2 - \phi_*^3}{(1 - \phi_*)^3} \quad (15)$$

$$\phi = N_{\odot}V_{\odot}, \quad \phi_* = \phi(1 + \lambda_0/R_0)^3, \quad V_{\odot} = 4\pi R_0^3/3. \quad (15a)$$

Здесь  $\phi = N_{\odot}V_{\odot}$  – безразмерная, однородная плотность коллоидов,  $V_{\odot}$  – объем отдельного коллоида,  $\phi_*$  – эффективная *volume fraction* с учетом экранирующей шубы, покрывающей ядро *DLVO*-коллоида (в определении уровня легирования  $N_{\odot} \equiv N_d$ , определение  $\phi$  коррелирует с (11), (14)).

Очевидно, уравнение состояния (15) слабо неидеально в меру  $\phi \leq 1$ , непрерывно “скатываясь” к идеалу в пределе  $\phi \ll 1$ . Этот результат подчеркивает вторичность взаимодействия между экранированными донорами (коллоидами) в формировании конечных продуктов диссоциации. В нашем случае формула (15) говорит о том, что с ростом плотности в области  $\phi = N_{\odot}V_{\odot} \leq 1$  осмотическое давление  $\Pi(N_{\odot})$  растет. Эксперимент [24, 25] по рассеянию рентгеновских лучей на разбавленных коллоидных растворах подтверждает предсказания (15).

*В условиях* (14) *DLVO*-коллоиды, оставаясь интегрально нейтральными, линейно (пока  $\phi \ll 1$ ) меняют объемную проводимость  $\sigma(\phi)$  коллоидного раствора

$$\frac{\sigma(\phi)}{\sigma_0} = 1 + \frac{3(\sigma_{\odot}/\sigma_0 - 1)\phi}{\sigma_{\odot}/\sigma_0 + 2 - (\sigma_{\odot}/\sigma_0 - 1)\phi}, \quad (16)$$

где  $\sigma_{\odot}$  – эффективная проводимость включения,  $\sigma_0$  – проводимость жидкой матрицы,  $\phi$  – безразмерная плотность (*volum fraction*) коллоидной суспензии,

Предсказания (16), восходящие к результатам Максвелла [26], убедительно проявляют себя в транспортных экспериментах [27–30].

*E.* Нарашивая плотность  $N_{\odot}$ , переходим в область

$$N_{\odot}(R_0 + \lambda_0)^3 \geq 1, \quad (17)$$

альтернативную (14). При этом газовая трактовка (15) свойств заряженного раствора теряет точность. Дебаевские шубы соседних ионов начинают перекрываться между собой, и надо работать в рамках статистики Дебая, Хюккеля [5, 14].

Корреляционная часть  $E_{\text{cor}}$  энергии кулоновского взаимодействующего газа имеет вид

$$E_{\text{cor}} = \frac{V}{2} \sum_a ez_a n_{ao} \varphi_a. \quad (18)$$

Здесь  $z_a$  – кратность заряда,  $n_{ao}$  – равновесная плотность данного сорта зарядов (не обязательно ионов),  $\varphi_a$  – потенциал поля, действующего на заряд  $a$ -го сорта со стороны остальных зарядов,  $V$  – объем системы.

Для расчета потенциалов  $\varphi_a$  используется схема рассуждений [5, 14], дающая возможность свести локальное значение потенциала  $\varphi_a(r)$  с центром на заряде  $ez_a$  к выражению, следующему из уравнения (5)

$$\begin{aligned} \varphi_a(r) &= ez_a \frac{\exp(-\kappa_D r)}{r}, \\ \kappa_D^2 &= \frac{4\pi e^2}{T} \sum_a n_{ao} z_a^2, \\ \sum_a ez_a n_{ao} &= 0, \end{aligned} \quad (19)$$

где, как и в (5),  $\kappa_D$  – обратная дебаевская длина.

Разлагая потенциал  $\varphi_a(r)$  (19) в ряд при малых  $\kappa_D r$ , найдем

$$\varphi_a(r) \simeq \frac{ez_a}{r} - ez_a \kappa_D + \dots \quad \varphi_a = -ez_a \kappa_D \quad (20)$$

Опущенные члены обращаются в нуль при  $r \rightarrow 0$ . Первое слагаемое есть потенциал собственного иона. Второй же член имеет смысл потенциала, созданного окружающими ионами в точке нахождения данного иона. Другими словами, определение  $\varphi_a$  из (18) имеет смысл:  $\varphi_a = -ez_a \kappa_D$ .

Как следствие, энергия  $E_{\text{cor}}$  принимает вид

$$E_{\text{cor}} = \frac{V}{2} \kappa_D r e^2 \sum_a z_a^2 n_{ao} \quad (21)$$

или с использованием  $N_a = n_{ao}V$ , где  $V$  – объем, занимаемый ансамблем частиц  $N_a$ ,

$$E_{\text{cor}} = -e^2 \sqrt{\frac{\pi}{TV}} \left( \sum_a n_a z_a^2 \right)^{3/2}. \quad (22)$$

Пересчет результата (22) на давление  $P$  дает (см. [14])

$$P = \frac{NT}{V} - \frac{e^3}{3V^{3/2}} \sqrt{\frac{\pi}{T}} \left( \sum_a n_a z_a^2 \right)^{3/2}. \quad (23)$$

Корреляционная поправка кулоновского происхождения к идеальному давлению оказывается отрицательной.

Результаты (22), (23) подтверждены в свое время более продвинутыми исследованиями [31], что

позволяет говорить о реальном “водоразделе” между свойствами очень разбавленных (“гранулированных”) и разбавленных электролитов. В первом случае речь идет о персональной экранировке собственными ионами воды каждого из легирующих доноров (либо ядер *DLVO*-образований) в ситуации, обеспечивающей выполнение неравенства (14). В этих условиях разбавленный раствор статистически демонстрирует свойства слабо неидеального газа имени Ван-дер-Ваальса с уравнением состояния в форме (15) и длиной экранировки  $\lambda_0^{aq}$  (10). Дебаевская длина экранирования  $\lambda_D \propto n_d^{-1/2}$  (5), (19) в этой области превосходит значения  $\lambda_0^{aq}$  и не участвует (как и вся статистика Дебая, Хюккеля [5]) в определении свойств “гранулированного” газа. Разложения вида (20) имеют смысл в условиях  $R_0 \leq \lambda_D$ . Это говорит о том, что статистика Дебая, Хюккеля [5] вообще не пригодна для *DLVO*-коллоидов с  $R_0 \geq \lambda_D$ .

Альтернатива возникает в условиях

$$\lambda_D \mapsto \lambda_0^{aq}, \quad (24)$$

когда, уменьшаясь со стороны малых  $n_d$ , длина  $\lambda_D$  приближается к значению  $\lambda_0^{aq}$ , и экранирующие оболочки гранулированных коллоидов начинают перекрываться между собой. Разложение (20) имеет смысл в условиях  $R_0 \leq \lambda_D$ . Для “боровских” доноров, дебаевский газ остается идеальным, если корреляционная поправка (21), (22) мала на фоне идеальной составляющей. Это требование обычно трактуется с использованием параметра  $\Gamma$  (см. определения (3), использованные выше)

$$\Gamma \simeq \tilde{V}_c/T \leq 1, \quad \tilde{V}_c \simeq e^2/\epsilon r_s \quad (25)$$

где  $r_s$  среднее расстояние между кулоновскими центрами. В нашем случае неравенство (25) сводится к форме

$$n_d \lambda_D^3 \leq 1, \quad (26)$$

где  $\lambda_D^3$  – дебаевская длина из (5), (19). С учетом  $\lambda_D \propto n_d^{-1/2}$  неравенство (26) служит ограничением снизу на плотность  $n_d$ . В области  $n_d \rightarrow 0$  экранировка мелких доноров реализуется (согласно (12)) с помощью длины  $\lambda_0^{aq}$ . А неравенство (26) преобразуется в требование (11).

Дебаевский газ Ван-дер-Ваальса с уравнением состояния в форме (23) альтернативен своими свойствами газу (15), (15a), подчеркивая разницу между очень разбавленными в условиях (14) и просто разбавленными, если имеет место ситуация (17), слабыми заряженными растворами.

Продолжая тему корреляций, обратимся к работе [32] с общим названием “Экранировка электрического поля в воде” и гипотезой о возможном усложнении

процесса диссоциации молекул  $\text{H}_2\text{O}$  в чистой воде. Согласно это работе, вода в жидким состоянии сохраняет структурные корреляции, широко представленные во льду. Как следствие, в распадах молекул воды присутствуют не две, а четыре заряженные компоненты: гидроксоний  $\text{H}_3\text{O}^+$  с зарядом  $+0.62e$ , гидроксил  $\text{OH}^-$  с зарядом  $-0.62e$  и, дополнительно, корреляционные осколки со своей энергией активации. Среди них: дефекты  $D$  с зарядом  $+0.38e$  и дефекты  $L$  с зарядом  $-0.38e$ . Усложнение процесса диссоциации заметно влияет (по мнению авторов [32]) на эффективную длину экранирования и корректирует в нужную сторону значение статической диэлектрической постоянной  $\epsilon_{aq}$  чистой воды. Как известно, микрорасчет  $\epsilon_{aq}$  дает для воды при комнате значение  $\epsilon_{aq} \simeq 50$ , вместо наблюдаемой  $\epsilon_{aq} \simeq 80$  (см., к примеру, [33]).

Но если  $D, L$ -фрагментация собственных ионов отражается на свойствах  $\epsilon_{aq}$ , она же должна влиять и на температурную зависимость коррелятора  $K_{aq}(T)$ . Однако, в существующей форме закономерность (1) однозначно говорит об отсутствии  $D, L$ -усложнений в распадах  $\text{H}_2\text{O} \leftrightarrow (\text{H}^+ + \text{OH}^-)$ . Обработка данных (1) с использованием языка (6)–(8) обнаруживает лишь один канал распада молекул  $\text{H}_2\text{O}$  на заряженные фрагменты с энергией активации  $E_g \simeq 10250\text{ K}$ , играющую роль ширины запрещенной зоны собственного электролита (детали см. Приложение с экспериментальной поддержкой параметрами для уксуса и конечными результатами, собранными на рис. 2, 3, 1A). Никаких уточнений в структуре коррелятора  $K_{aq}(T)$  (1) литература по тематике за последние полвека не содержит (точнее, автору они неизвестны).

**F.** Совокупность данных рис. 1 интересна не только асимптотиками  $Q(t \rightarrow \infty)$  для разных значений  $V$  управляющего напряжения на электродах конденсатора. Электрохимическая литература полна сообщениями о релаксационных явлениях вида  $Q(t)$ , сопровождающих кинетику образования аккумуляционных слоев в схемах вида рис. 1 с участием электролитических конденсаторов. В подробной обзорной работе [34] с ретроспективой вплоть до начала 1900-х обсуждается современное положение дел с релаксационными явлениями в ячейках с “запертymi концами” вида рис. 1 (в основном, численными средствами). Из вопросов по существу эта деятельность берется ответить на вопрос, почему характерные релаксационные времена  $\tau_{\text{relax}}$  для  $Q(t)$ -кинетики водных электролитов заметно длиннее стандартного времени релаксации  $\tau_{\text{Maxw}} \sim \sigma_{aq}^{-1}$ . Напомним, что для воды при комнате  $\sigma_{aq}^{-1} \leq 10^{-3}\text{ с}$ . Здесь же по-

лезно указать масштабы характерного, врачательного времени Дебая  $\tau_{deb} \leq 10^{-8}$  с в физике полярных, жидкых диэлектриков. В то же время типичные времена для  $Q(t)$  на рис. 1 имеют масштаб  $\tau_{relax} \sim (10^2 - 10^3)$  с. Часть задач из [34], исследованных, в основном, численными средствами, решена аналитически в работах [35–38].

Относительно недавно наметился повышенный интерес к поведению *DLVO*-коллоидов вблизи границы металл–электролит (см., к примеру, [39]). Привлечение к трактовке возникающих здесь результатов идей Вагнера, Онсагера, Самараса [17, 18] реализовано в работе [40].

**Резюме.** Предложено согласованное определение экранирующей длины  $\lambda_{aq}$  (10) для воды и ее разбавленных растворов с использованием статистики, трактующей поведение слабо проводящей жидкости как собственного полупроводника. В рамках формализма введено понятие об очень разбавленных (гравулированных) заряженных растворах без перекрытия в условиях (14) экранирующих “щуб” соседних заряженных доноров. Показано, что с нарушением требования (14) осмотическое давление  $\Pi_{bulk}(\phi)$  меняет свои свойства с закономерности (15) на альтернативу (23), демонстрируя смену знака производной  $\partial\Pi_{bulk}(\phi)/\partial\phi$ . Такие детали в поведении осмотического давления доступны (и заслуживают) экспериментальной проверки. В последнее время резко возрос интерес к задачам с участием *DLVO*-коллоидов вблизи границы металл–электролит (см., к примеру, публикацию [39]). Использование в этой области результатов Вагнера, Онсагера, Самараса [17, 18] составляет содержание работы [40].

Автор благодарен Б. Тимофееву за обсуждение результатов работы и участие в расчетах вместе с оформлением графиков.

#### Приложение. Формулы сопряжения для раствора уксуса в воде

Поведение уровня Ферми  $E_F$  в запрещенной зоне  $E_g$  собственного полупроводника (воды) следует из решения трансцендентного уравнения (6) основного текста относительно  $E_F$  с привлечением требования локальной нейтральности в объеме легированного электролита (его дубль (A.1) приведен в Приложении для удобства)

$$N_+ = N_- + N_d^- . \quad (\text{A.1})$$

Здесь плотности  $N_+$ ,  $N_-$  определены формулами (7) основного текста,  $N_d^-$  – из (8),  $N_d$  – объемная плотность легирующей примеси,  $N_+^0$  и  $N_-^0$  – феноменологические константы, требующие определения.

К этой процедуре привлекаются упомянутые выше условия сопряжения.

Первое из них связано с произведением  $(N_+ * N_-)$  (см. определения (7) основного текста). Это соотношение оказывается независящим от параметра  $E_F$  (общее свойство, имеющее место и в электрондырочной статистике [13])

$$N_+ \times N_- = N_+^0 N_-^0 \exp(-E_g/T) . \quad (\text{A.2})$$

Эта формула роднит ее своей структурой с определением константы  $K_{aq}(T)$  в так называемым “ионном произведении воды” (см. [1, 6])

$$K_{aq} = \alpha_{aq}^2 (\text{моль/л})^2 , \quad (\text{A.3})$$

где  $\alpha_{aq}$  – степень диссоциации молекул воды в распаде  $\text{H}_2\text{O} \rightarrow \text{H}_+ + \text{OH}_-$ .

Константа диссоциации  $K_{aq}$  тщательно измерена на разными средствами (см. [1, 6]). В интересующем нас виде она представлена выражением (1) основного текста и (A.4) (для удобства)

$$\log_{10} K_{aq} = \frac{A_1}{T} + A_2 + A_3 * T , \quad (\text{A.4})$$

$$A_1 = 4471.33 \text{ К}, \quad A_2 = -6.0846, \quad A_3 = +0.017053$$

из содержательной книги [1].

Реализуя намеченную программу, сопрягаем (A.2) и (A.4)

$$K_{aq}(T) \leftrightarrow N_+^* N_-^* \exp(-E_g/T), \quad N_+^* = \gamma N_+^0, \quad (\text{A.5})$$

$$N_-^* = \gamma N_-^0, \quad \gamma = 1000/R,$$

рассчитывая на продвижение в определении констант  $N_+^0$  и  $N_-^0$ . При этом надо помнить о разных системах единиц, бытующих в определениях  $K_{aq}(T)$  (A.4) (речь идет о единицах (моль/л)) и  $N_+ \times N_-$  (A.2) (в определениях (6), (7) основного текста подразумевается система *CGSE*). Фактор  $\gamma$  в обозначениях  $N_+^*$  и  $N_-^*$  учитывает это обстоятельство.  $R$  – число Авогадро.

Желая согласованно использовать эмпирическую формулу (A.4), обезразмерим связь (A.5), вводя вспомогательную плотность  $n_*$

$$n_* = (\text{один моль})/\text{л}, \quad (\text{A.6})$$

так что

$$\tilde{K}_{aq}(T) = N_+^* N_-^* \exp(-E_g/T)/n_*^2, \quad (\text{A.7})$$

$$\tilde{K}_{aq}(T) = K_{aq}(T)/n_*^2,$$

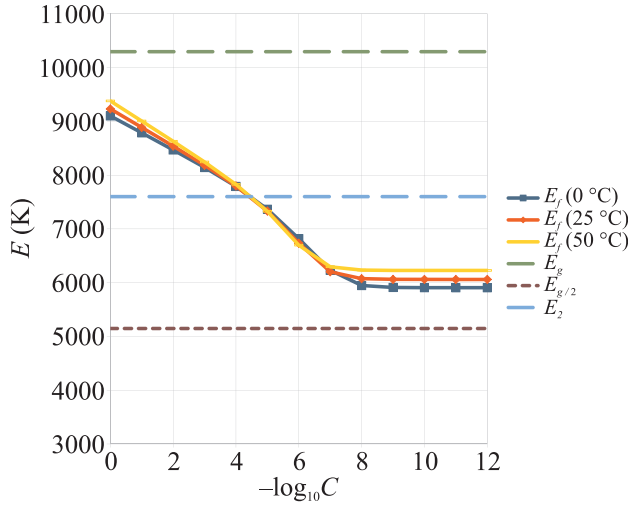


Рис. 1А. (Цветной онлайн) Энергия Ферми  $E_F$  (ордината в градусах Кельвина) для раствора уксуса в воде в функции от плотности доноров, т.е. примеси уксуса при разных температурах (темно-синий цвет –  $T = 0^\circ\text{C}$ ; красный цвет –  $T = 25^\circ\text{C}$ ; желтый цвет –  $T = 50^\circ\text{C}$ ). В полупроводниках перемещения уровня Ферми по запрещенной зоне стимулируются вариациями температуры (см. [12]). В разбавленных растворах такие возможности лимитированы. Зато ничем не ограничены манипуляции с концентрацией доноров (уксуса), что и предпринято для иллюстрации свойства  $E_F$ . Из других обозначений, согласованных со схемой рис. 2: зеленый пунктир – положение дна зоны проводимости  $E_g$ ; коричневый пунктир отвечает середине запрещенной зоны, т.е. уровню  $E_g/2$ ; голубой пунктир – положение уровня  $E_2$  для уксуса в запрещенной зоне воды

и обе части (A.7) безразмерны.

Сравнение левой и правой сторон (A.7) с учетом (A.4) говорит о том, что константа  $A_1$  из (A.4) имеет смысл энергетической щели в определении воды как собственного электролита,

$$2.3 \times A_1 = E_g^{aq} \simeq 10248 \text{ K.} \quad (\text{A.8})$$

Остатки формулы (A.7) связывают известные числа  $A_2$ ,  $A_3$  с произведением  $(N_+^* N_-^*)$ .

$$-2.3(A_2 + A_3 T) = \ln \left[ \frac{N_+^* N_-^*}{n_*^2} \right]. \quad (\text{A.9})$$

Как и ожидалось, первое из сопряжений, (A.7) определяет значение важного активационного параметра  $E_g^{aq}$  и связывает между собой величины эффективных значений  $N_+^*$  и  $N_-^*$  с числами  $A_2$ ,  $A_3$  из определения (A.4) ионного произведения воды  $K_{aq}(T)$ .

Вторая связь между константами  $(N_-, N_+)$  и  $(K_{aq}, K_d)$  возникает асимптотически в зоне действия

приближения Освальда для статистики полупроводников  $n$ -типа и термодинамики разбавленных электролитов. С одной стороны, в области  $N_d^- \gg H_+$  имеем из формул (6)–(8) основного текста (по аналогии с [13])

$$N_+ \simeq (2N_d N_+^0)^{1/2} \exp(-E_d/2T) \quad (\text{A.10})$$

с  $E_d = (E_g - E_2)$ .

С другой стороны, закон Освальда для разбавленных электролитов в форме [1, 6–9]

$$K_d = \frac{\alpha_d^2 C_d}{(1 - \alpha_d)},$$

где  $[C_d] = \text{моль/л}$ , в пределе  $\alpha_d = N_+/N_d \ll 1$  сводится к

$$\alpha_d^+ \simeq C_d^{-1/2} K_d^{1/2}. \quad (\text{A.11})$$

С целью дальнейшего использования (A.11) константа  $K_d$  снабжена индексом  $d$ .

Интересующее нас второе сопряжение, содержащее параметры  $(N_+^0, N_-^0)$  и  $(K_{aq}, K_d)$ , возникает сравнением формул (A.10), (A.11)

$$\left( \frac{2N_+^*}{N_d^*} \right)^{1/2} \exp(-E_d/2T) = C_d^{-1/2} K_d^{1/2},$$

$$N_d^* = \gamma N_d = C_d, \quad (\text{A.12})$$

или

$$(2N_+^*)^{1/2} \exp(-E_d/2T) = K_d^{1/2}. \quad (\text{A.12a})$$

Правильность избранного для сопряжения пути подчеркивается выпадением из (A.12a) параметра  $C_d$ . Кроме того, имеем в виду, что для водных растворов роль заряда, выбрасываемого с донора в зону проводимости играет положительная частица – протон.

Дальнейшее связано с эмпирическим представлением  $K_d(T)$  [1]

$$-\log_{10} \tilde{K}_d(T) = +\frac{A_1^d}{T} + A_2^d + A_3^d T,$$

$$\tilde{K}_d(T) = K_d(T)/n_*, \quad (\text{A.13})$$

$$A_1 = 1170.48 K, \quad A_2 = -3.1649, \quad A_3 = 0.013399. \quad (\text{A.13a})$$

Здесь где  $n_*$  – из (A.6), числа  $A_1^d$ ,  $A_2^d$ ,  $A_3^d$ , получены в [1] для водного, разбавленного раствора уксуса.

Возводя обе части (A.12) в квадрат и пользуясь (A.13), находим для  $A_1^d$  связь

$$E_d^+ = 2.3 * A_1^d \simeq 2692 \text{ K} \quad (\text{A.14})$$

## Остаток

$$\ln \left( \frac{2N_+^*}{n_*} \right) = -2.3(A_2^d + A_3^d T) \quad (\text{A.15})$$

дополнительно сопрягает  $N_+^*$ ,  $N_-^*$  с числами  $A_2^d + A_3^d$ , в чем и хотелось убедиться.

Численные значения констант  $N_+^0$ ,  $N_-^0$ , следующие из (A.9), (A.15), представлены на графиках рис. 3 основного текста. Энергия Ферми  $E_F$  из (6) с учетом данных для  $N_+^*$ ,  $N_-^*$  “уксусного” происхождения (см. графики рис. 3), представлена на рис. 4.

1. R. Robinson and R. Stokes, *Electrolyte Solutions*, Butterworths Scientific Publications, London (1959).
2. A. Levchenko, A. Likhter, D. Khramov, V. Gryaznova, and V. Shikin, Low. Temp. Phys. **41**, 590 (2015).
3. А. Левченко, Л. Межов-Деглин, И. Чихина, В. Шикин Физика низких температур **45**, 965 (2019).
4. G. Lewis and M. Randall, *Thermodynamics and the Free Energy of Chemical Substances*, McGraw-Hill, N.Y., London (1923).
5. P. Debye and E. Huckel, Phys. Z. **24**, 185 (1923).
6. Г. Харнет, Б. Оуэн, *Физическая химия растворов и электролитов*, Издат. Инлит, М. (1952), 628 с.
7. С. Глесстон, *Введение в электрохимию*, Иностранный Литература, М. (1951), 756 ср.
8. Р. Кубо, *Термодинамика*, Мир, М. (1970), 304 с.
9. Дж. Батлер, *Ионные равновесия*, Химия, Ленинград (1973), 446 с.
10. А. Ротинян, К. Тихонов, И. Шошина, *Теоретическая электрохимия*, Химия, Л. (1981), 423 с.
11. I. Chikina, Low. Temp. Phys. **48**, 661 (2022).
12. J. Blakemore, *Semiconductor Statistics*, Pergamon Press, Oxford, London, N.Y., Paris (1962).
13. Ч. Киттель, *Введение в физику твердого тела*, Физ-МатГиз, М. (1963), 696 с.
14. Л. Ландау, Е. Лифшиц, *Статистическая физика*, Физматлит, М. (1995), 605 с.
15. И. Пригожин, Д. Кондепуди, *Современная термодинамика*, Мир, М. (2002), 462 с.
16. В. Шикин, ЖЭТФ **123**, 859 (2016).
17. C. Wagner, Phys Z. **25**, 474 (1924).
18. L. Onsager and N. Samaras, J. Chem. Phys. **2**, 528 (1934).
19. B. Deryagin and L. Landau, ZhETF **11**, 802 (1941).
20. E. Verwey and J. Overbeek, *Theory of the Stability of Lyophobic Colloids: The Interaction of Sol Particles Having an Electric Double Layers*, Elsevier, Amsterdam (1948).

21. N. Caranhan and K. Starling, J. Chem. Phys. **51**, 635 (1969).
22. E. Cousin, E. Dubois, and V. Cabuil, Phys. Rev. E: Stat. Nonlinear Soft Matter Phys. **68**, 021405 (2003).
23. E. Wanderman, A. Cebers, E. Dubois, G. Meriguet, A. Robert, and R. Penzynski, Soft Matter **9**, 11480 (2013).
24. R. Cabreira Gomes, A. Ferriera da Silva, W. Kouyate, G. Demouchy, G. Meriguet, R. Aquino, E. Dubois, S. Nakamae, M. Roger, J. Depeyrot, and R. Perzynski, Phys. Chem. Chem. Phys. **20**, 16402 (2018).
25. K. Bhattacharya, M. Sarcar, T. Salez, S. Nakamae, G. Demouchy, and F. Cousin, Chemengineering **4**, 5 (2020).
26. J. Maxwell, *A Treatise of Electricity and Magnetism*, 3rd ed., Oxford University Press, London, UK (1892), v. 1, part II.
27. I. Lucas, S. Durand-Vidal, O. Bernard, V. Dahirel, E. Dubois, and J. Defreche, Mol. Phys. **112**, 1463 (2014).
28. T. Salez, B. Huang, M. Rietjens, M. Bonetti, C. Wiertel-Gasquet, M. Roger, and Cl. Filomeno, Phys. Chem. Chem. Phys. **19**, 9409 (2017).
29. I. Chikina, V. Shikin, and A. Varlamov, Entropy **22**, 225 (2020).
30. E. Sani, M. Martina, T. Salez, S. Nakamae, E. Dubois, and V. Peyre, Nanomaterials **11**, 1031 (2021).
31. А. Введенов, А. Ларкин, ЖЭТФ **36**, 1133 (1959).
32. М. Рыжкин, И. Рыжкин, А. Клоев, Письма в ЖЭТФ **110**, 112 (2019).
33. J.-P. Hansen and I. McDonald, *Theory of Simple Liquids*, third edition, Academic Press, Elsevier (2005).
34. Z. Martin, Z. Bazant, K. Thornton, and A. Ajdari, Phys. Rev. E **70**, 021506 (2004).
35. I. Chikina, S. Nazin, and V. Shikin, Europhys. Lett. **80**, 26003 (2007).
36. I. Chikina, S. Nazin, and V. Shikin, Physica B **460**, 129 (2015).
37. I. Chikina and V. Shikin, Low Temp. Phys. **46**, 1108 (2020).
38. I. Chikina, B. Timofeev, and V. Shikin, Low Temp. Phys. **47**, 611 (2021).
39. F. Nadal, F. Argoul, P. Hanusse, B. Pouliquen, and A. Ajdari, Phys. Rev. E **65**, 061409 (2002).
40. I. Chikina, S. Nakamae, V. Shikin, and A. Varlamov, Colloids Interfaces **6**, 25 (2022).